

Contexte: Soit K un corps.

I/ Droite projective sur un corps quelconque

1) Construction de la droite projective $P^1(K)$ [C-6]

Def 1: $P^1(K)$ désigne l'ensemble des droites non-vide de K^2 . C'est donc l'ensemble quotient $(K^2 \setminus \{0\}) / \sim$ où \sim désigne la relation d'équivalence

$(x, y) \sim (x', y')$ ssi $\exists \lambda \in K^* \text{ tq } (x', y') = \lambda(x, y)$.

Not 2: Si $(x, y) \neq (0, 0)$, on note $[x, y]$ la droite qu'il engendre.

Prop 3: $(x, y) \in K \times K^*, [x, y] = [\frac{x}{y}, 1]$.

Notant $\infty = [1, 0]$. On a ainsi la décomposition suivante $P^1(K) = K \cup \{\infty\}$

(cf annexe pour une visualisation de cette décomposition)

2) Généralisation topologiques de la droite projective

sur $K = \mathbb{R}$ ou \mathbb{C} [Aval]

On munit $P^1(K)$ de la topologie quotient (cf def 1)

Prop 4: Les droites projectives réelles ou complexes sont des espaces topologiques compacts et connexes par arcs.

Plus précisément, on montre

$P^1(\mathbb{R}) \cong S^1$

$P^1(\mathbb{C}) \cong S^2$

où \cong désigne homéomorphisme (cf annexe pour une visualisation de ces homéomorphismes) [Aval]

Prop 5: La prop 4 reste vraie pour des espaces projectifs de dimension quelconque ≥ 0 .

II/ Action de $PGL_n(K)$ et birapport [Aval] [C-6]

Def 6: Une homographie $g: P^1(K) \rightarrow P^1(K)$ est une application telle qu'il existe un isomorphisme linéaire $g: K^2 \rightarrow K^2$ tel que $po_g = g \circ p$ où

$p: K^2 \rightarrow P^1(K)$
 $(x, y) \mapsto [x, y]$

Prop 7: Les homographies de $P^1(K)$ forment un groupe pour la composition noté $GP(K)$.

De plus, $\mathbb{G} = GL(K^2) \rightarrow GP(K)$ est un morphisme de groupes surjectif qui se factorise de manière suivante $GL(K^2) / \{homothéties\} \cong GP(K)$

Description universelle: On munit K^2 de la base canonique. Soit $g \in GL_n(K)$: $g(x, y) = (ax+by, cx+dy)$ avec $ad-bc \neq 0$.

On a l'identification $[x, y] = [2, 1]$ quand $y \neq 0$ et $\infty = [1, 0]$, toute homographie s'écrit:

$$z \mapsto \frac{az+b}{cz+d}$$

avec convention $\frac{a}{c} = \infty$ si $c=0$ et $\frac{ac+bd}{cc+dd} = \frac{a}{c}$.

De même $GL_n(K) \rightarrow PGL_n(K)$

$$(a, b) \mapsto \begin{pmatrix} a & b \\ c & d \end{pmatrix}$$

est un morphisme de groupes qui se factorise de manière suivante $GL_n(K) / \{AI, \lambda I\} \cong PGL_n(K)$

Prop 8: Toute homographie de $P^1(\mathbb{C})$ a un point fixe. Ce résultat est faux sur $P^1(\mathbb{R})$ comme de montre

$$z \mapsto \frac{z+i}{z+1}$$

App 3 : Soient f et g deux homographies ayant chacune deux points fixes distincts. Alors, f et g commutent ssi elles ont des m^{es} points fixes.

App 10 : Soit $a, b \in P^1(K)$ et $a \neq b$.

$f \in PG_L(K)$, $f(a) = a$ et $f(b) = b$, $g \in PG_L(K)$

$$H \simeq K^{\times}$$

Ex 11 : $f \in PG_L(K)$ et $f(z) = 0$ et $f(\infty) = \infty$ alors $f(z) = az$ pour $a \neq 0$.

Thm 12 : L'action de $PG_L(K)$ est trois fois simplement transitive ie :

Soient (z_1, z_2, z_3) et (z'_1, z'_2, z'_3) deux triplets de points distincts, il existe une unique homographie h et $h(z_i) = z'_i$ pour $i = 1, 2, 3$.

Def 13 : Soit (z_1, z_2, z_3, z_4) éléments \neq de $P^1(K)$. Soit $h \in$ homographie qui envoie z_1 sur ∞ , z_2 sur 0 et z_3 sur 1 . Le barycentre de (z_1, z_2, z_3, z_4) est $[z_1, z_2, z_3, z_4] = h(z_4)$

$$\text{Ex 14 : } [\infty, 1, 1, z_4] = z_4$$

$$\text{Sur } P^1(\mathbb{R}), [1, 2, 3, 4] = 4/3$$

Prop 15 : (i) Le barycentre est invariant par homographies.

(ii) Deux quadruplets (z_1, z_2, z_3, z_4) et (z'_1, z'_2, z'_3, z'_4) de pts \neq ont de m^{es} barycentre ssi il existe une homographie h et $h(z_i) = z'_i$.

$$\text{iii) } [z_1, z_2, z_3, z_4] = \frac{z_4 - z_2}{z_4 - z_1} \cdot \frac{z_3 - z_1}{z_3 - z_2}$$

$$\text{Ex 16 : Sur } P^1(\mathbb{R}), [1, 2, 3, 4] = [0, \infty, 1, 3/4] ;$$

$$h(z) = \frac{z-1}{z-2} \text{ envoie } h(z_i) = z'_i$$

Thm 17 : Pour que quatre points de \mathbb{C} soient alignés ou cycloédriques, il faut et il suffit que leur barycentre soit réel.

Ex 18 : $[1, i, -1, -i] = -2 \in \mathbb{R}$. Ces 4 points sont sur le cercle unité.

$[1+i, 2(1+i), 3(1+i), 4(1+i)] \in \mathbb{R}$. Les 4 points sont sur la droite d'équation $y = x$.

Thm 19 (Formule des six barycentres) : Soit huit ordonnées a, b, c, d, p, q, r, s . On a :

$$[a, b, c, d] \times [a, r, d, p] \times [a, q, p, c] \times [r, c, q, b] \times [s, p, r, q] \times [s, d, b, r] = 1$$

Figure 20 : Cette formule s'utilise généralement dans $P^1(\mathbb{C})$ de la façon suivante. Pour montrer que quatre points sont cycloédriques ou alignés, on isole deux barycentres et on montre que le produit des six barycentres de la formule précédente est réel pour en déduire que le premier barycentre est réel et en utilise de Thm 17.

Ex 21 : Soient E_1, E_2, E_3, E_4 quatre cercles - droites de $P^1(\mathbb{C})$. On suppose que $E_1 \cap E_2 = \{A_1, A_2\}$ et que les A_i sont cycloédriques. Alors les A_i sont cycloédriques (cf annexe 4).

Ex 22 (Théorème de Poncelet) : Soit ABC un triangle et A', B', C' trois points des côtés $(BC), (CA)$ et (AB) distincts des sommets. Alors les cercles circonscrits aux triangles $AB'C', B'C'A'$ et $CS'A'$ ont un point commun (cf annexe 5)

Ex 23 (Droites de Simson et de Steiner) : Les symétriques de l'orthocentre d'un triangle par aux côtés sont alignés de même que ses projetés orthogonaux sur les côtés.

III / Applications (peu exceptionnelles) des homomorphismes de la droite projective

1) Automorphismes de $k(X)$ [Sp]

Thm 24. $\bar{G} : \text{GL}(k) \rightarrow \text{Aut}(k(X))$
 $\begin{pmatrix} a & b \\ c & d \end{pmatrix} \mapsto (F(X) \mapsto F\left(\frac{-dX+b}{-cX+a}\right))$

est un morphisme surjectif de groupes.

De plus, $k\alpha \bar{G} = \left\{ \begin{pmatrix} 1 & 0 \\ 0 & \lambda \end{pmatrix} ; \lambda \in k^* \right\}$.

D'où $\text{PGL}(k) \simeq \text{Aut}(k(X))$

$\mathbb{C} \rightarrow \mathbb{C}^2 : z \mapsto (z, 1) \in \text{Aut}(k(X))$. On peut

se voir directement un remorquant que X ne possède pas d'automorphisme par α .

2) $\text{PGL}(k)$ et analyse complexe [Car]

Thm 26 (admis) (Théorème de représentation conforme de Riemann) : tout domaine simplement connexe du plan distinct de \mathbb{C} tout entier est biholomorphe à \mathbb{D} ou $\mathbb{D}^c = \{z \in \mathbb{C} ; |z| < 1\}$.

Ex 27 : Soit $\mathcal{D} = \{z \in \mathbb{C} ; |z| > 0\}$.
 Alors $h(z) = \frac{z-i}{z+i}$ est une homographie qui envoie \mathcal{D} sur \mathbb{D} .

Soit $\mathcal{A} = \{z \in \mathbb{C} ; \text{Re}(z) > 0\}$.
 Alors $g(z) = \frac{z-1}{z+1}$ qui envoie \mathcal{A} sur \mathbb{D} .

Thm 27 (quelques groupes d'automorphismes classiques.)
 (i) Les automorphismes de \mathbb{C} sont donnés par

$z \mapsto az + b$ avec $a \neq 0$

(ii) Les automorphismes de \mathbb{D} sont donnés par les transformations de Moebius $z \mapsto \frac{az+b}{cz+d}$ de $|a|^2 - |b|^2 = 1$.

(iii) Les automorphismes de \mathbb{R}^2 sont des homomorphismes de la forme $z \mapsto \frac{az+b}{cz+d}$ de $a, b, c, d \in \mathbb{R}$ et $|a|^2 - |b|^2 = |c|^2 - |d|^2 = 1$.

3) Isomorphismes exceptionnels [C-E]

Contexte : q puissance d'un nombre premier et \mathbb{F}_q est corps fini de q éléments.

Prop 28. (i) $|\text{PGL}(\mathbb{F}_q)| = 1+q$
 (ii) $|\text{GL}(\mathbb{F}_q)| = (q^2-1)(q^2-q)$
 (iii) $|\text{PGL}(\mathbb{F}_q)| = (q^2-1)(q^2-q)$
 (iv) $|\text{SL}(\mathbb{F}_q)| = |\text{PGL}(\mathbb{F}_q)|$.

Thm 29 (Isomorphismes exceptionnels)

(i) $\text{GL}(\mathbb{F}_2) \simeq \text{SL}(\mathbb{F}_2) \simeq \text{PGL}(\mathbb{F}_2) \simeq \text{PGL}(\mathbb{F}_3) \simeq \mathfrak{S}_3$
 (ii) $\text{PGL}(\mathbb{F}_3) \simeq \mathfrak{A}_4$, $\text{PGL}(\mathbb{F}_4) \simeq \mathfrak{S}_4$
 (iii) $\text{PGL}(\mathbb{F}_5) \simeq \text{PSL}(\mathbb{F}_5) \simeq \mathfrak{A}_5$.
 (iv) $\text{PGL}(\mathbb{F}_7) \simeq \mathfrak{A}_7$, $\text{PGL}(\mathbb{F}_8) \simeq \mathfrak{S}_8$.

Références

- [Dua1], Michèle Audin, Géométrie
- [C-E], Galois-Germani, HIGL
- [Car], Carter, Théorie Élémentaire des fonctions analytiques d'une ou plusieurs variables complexes [Sp], Springer, 13 Algèbre.

Annexe

Figure 1

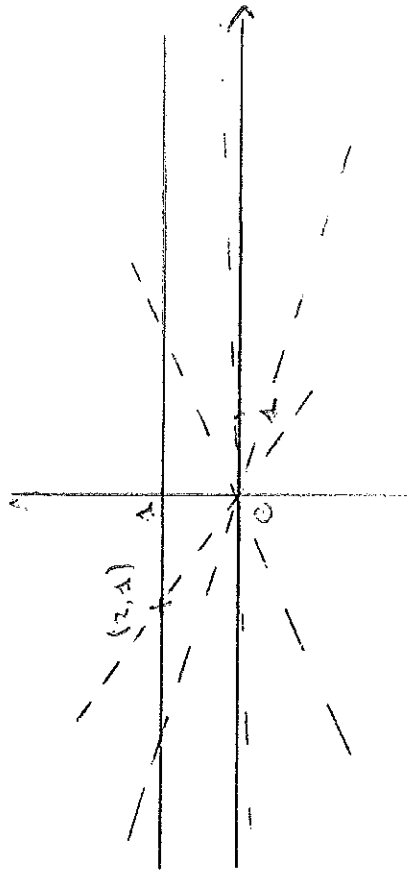


Figure 2

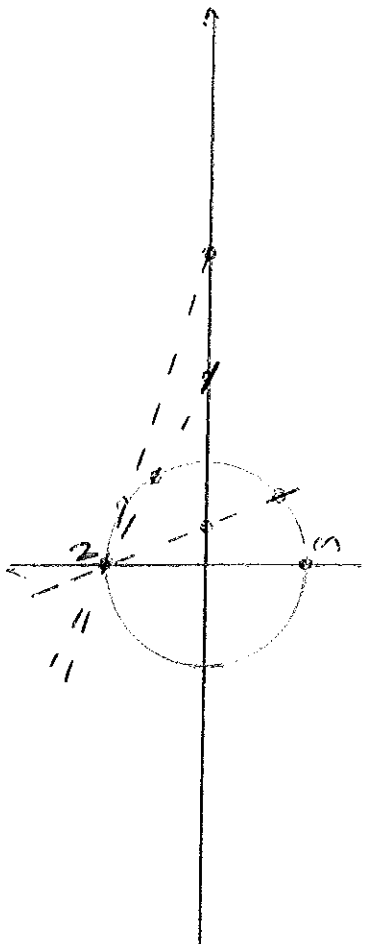


Figure 3

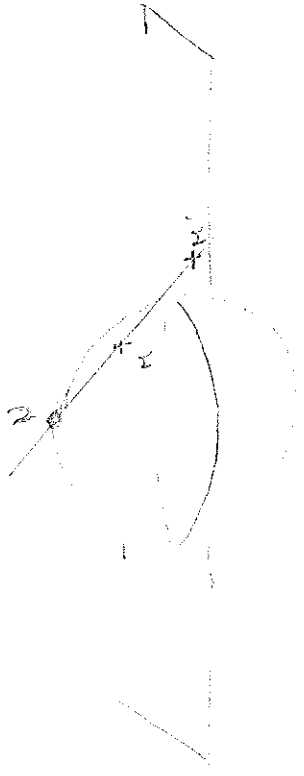


Figure 4

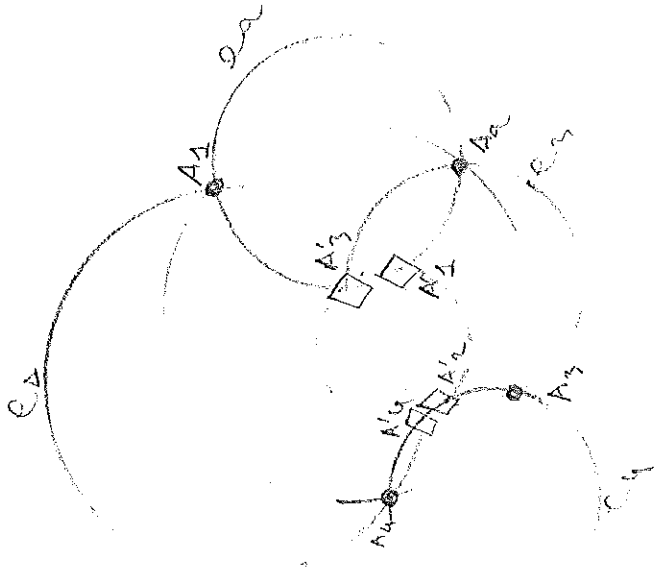


Figure 5

